

## II-53 桜島火山灰の降下量の分布について

九州大学工学部 正員 平野京夫  
 鹿児島工業高等専門学校 正員○足田 誠  
 九州大学工学部 学生員 吉田健太郎  
 九州大学工学部 学生員 石井 刚

## 1. まえがき

桜島の火山活動は1972年頃より活発になり、以来現在まで衰えることなく続いている。その間多量の火山灰を噴出し、周辺の農作物に大きな被害を与える。住民の生活環境を悪化させている。また、山腹に堆積した火山灰は強雨時長土石流となって流出し、島民の脅威となっている。本研究は種々の災害をもたらしている新規火山灰の時間的空間的分布に関する確率モデルを考え、実測資料によって検証したものである。

## 2. 降灰量分布の計算式

定常状態における火山灰粒子の運動を考えると、図-1において  
 粒子降下中の軌跡に対して、次式が成立する。

$$\frac{D - y}{x - x_c} = \frac{w_0}{v} \quad \dots \dots \dots (1)$$

ここに、 $D$ は噴出高度、 $x_c$ は噴出高度に達したときの水平距離、  
 $w_0$ は粒子の沈降速度、 $v$ は粒子に働く風速である。地上 $y=0$   
 において、 $x_c \ll x$ とみなすと、

$$w_0 = DV / x \quad \dots \dots \dots (2)$$

ある $D$ と $V$ の状態において、火口から $x$ の範囲内に落ちてくる降灰量 $Q(x)$ は

$$Q(x) = Q_0 \int_{\frac{DV}{x}}^{\infty} f(w_0) dw_0 \quad \dots \dots \dots (3)$$

ここに、 $Q_0$ は火口における噴出量、 $f(w_0)$ は噴出された火山灰の沈降速度の確率密度関数である。 $x$ の地点における単位幅当りの降灰量 $g(x)$ は、火山灰の落ちる幅を $b(x)$ とすると

$$g(x) = [Q(x + \Delta x) - Q(x)] / b(x) \cdot \Delta x = \frac{dQ}{dx} / b(x) = \frac{Q_0}{b(x)x} f(w_0) dw_0 \quad \dots \dots \dots (4)$$

ある期間を考えると、 $V$ と $D$ は種々変化するから、その期間の単位面積当たり降灰量 $P(x)$ は $V$ と $D$ の分布を導入して

$$P(x) = \int_{D_c}^{\infty} \int_{0}^{\infty} g \cdot g(v) h(D) dv dD = \frac{Q_0}{b(x) \cdot x} \int_{D_c}^{\infty} \int_{0}^{\infty} f\left(\frac{DV}{x}\right) \frac{DV}{x} g(v) h(D) dv dD \quad \dots \dots \dots (5)$$

ここに、 $D_c$ は火口の高さ、 $g(v)$ と $h(D)$ はそれぞれ $V$ と $D$ の確率密度関数である。全方位を考えると $b(x) = 2\pi x$ であるが、降灰量は風向の頻度に影響されることが知られている<sup>1)</sup>ので、風向の頻度の重み $w_d(\theta)$ を導入することにする。したがって、θ方向の単位面積当たり降灰量は

$$P(x, \theta) = \frac{Q_0 w_d(\theta + \pi)}{2\pi x^2} \int_{D_c}^{\infty} \int_{0}^{\infty} f\left(\frac{DV}{x}\right) g(v) h(D) dv dD \quad \dots \dots \dots (6)$$

上式で計算するためには $f(w_0)$ 、 $g(v)$ 、 $h(D)$ を考える必要がある。

図-2は鹿児島地方気象台で観測された1975年から1982年の噴煙高度の分布を示したものであるが、ほぼ対数正規分布をなしている。また、図は省略したが、毎日の風速の分布もほぼ対数正規分布をなす。火口の火山灰の沈降速度の分布については、今のところ知る手がかりはないが

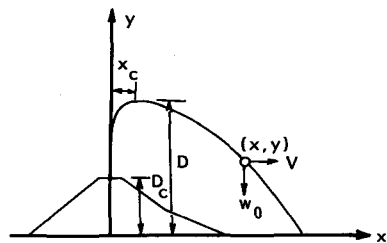


図-1 火山灰粒子の運動

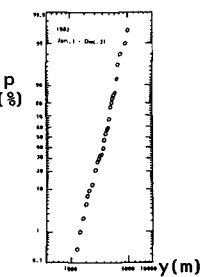


図-2 噴煙高度の頻度分布

自然界に存在する土砂礫の粒度分布が対数正規に近いものが多いことから、 $f(W)$ を対数正規と見なすことにする。したがって式(6)は次のように表わされる。

$$\frac{P(x, \theta)}{w_d(\theta + \pi)} = \frac{Q_0}{(2\pi)^{1/2} S_r^2 C S_t} \exp \left[ -\frac{1}{2S_t^2} (\log \frac{W_{om} X}{V_m D_m})^2 \right] \int_{\eta_c}^{\infty} \frac{1}{\sqrt{2\pi}} e^{-\frac{\eta^2}{2}} d\eta \quad \dots \dots \dots (7)$$

ここに、 $\eta_c = [\log(D_c/D_m) - (S_o/S_r)^2 \cdot \log(W_{om}/X/V_m D_m)] \cdot S_t / S_o S_r$ ,  $C = \ln 10$ ,  $S_t^2 = \sqrt{S_w^2 + S_v^2}$ ,  $S_w, S_v, S_o$  と  $\log W_{om}$ ,  $\log V_m$ ,  $\log D_m$  はそれぞれ  $\log W_0$ ,  $\log V$ ,  $\log D$  の標準偏差および平均である。上式においてパラメータは  $Q_0$ ,  $W_{om}/V_m$ ,  $S_o$ (または  $S_t$ ),  $D_m$ , および  $S_o$  の 5 個であるが、 $S_o$  と  $D_m$  を図-2 のデータより与えらる、未知のパラメータは  $Q_0$ ,  $W_{om}/V_m$  および  $S_o$  の 3 個となる。

### 3. 降灰量の計算

図-3 は鹿児島地方気象台吉野高層観測所における 1982 年の 9 時の風向頻度を地上 283 m および気圧 850 mb, 800 mb, 750 mb(それをれば 1000, 2000, 3000 m に相当)について示したものである。地上では地形の影響を受けて上層とかなり異なること、上層になると偏西風が卓越することなどが認められる。

図-4 は鹿児島県の 59 地点における 1979~1982 年の降灰量の観測値と 1500 m の風向頻度を用いて式(7)の 3 個のパラメータ( $Q_0, S_o$  および  $W_{om}/V_m$ )を最小自乗法によって同定し、 $P(x, \theta)/w_d(\theta + \pi)$  の実測値と計算値を比較したものである。広い範囲にわたって両者はよく一致しており、式(7)の適合性は良好である。最適パラメータの値は  $W_{om}/V_m = 0.62$ ,  $S_o = 5.0$ ,  $Q_0 = 1.03 \times 10^7 \text{ ton/year}$  であり、 $Q_0$  の値は石原ら<sup>2)</sup>や著者ら<sup>1)</sup>が 1978~1979 年に対して求めた値とオーダー的に一致している。

次に風向の影響を吟味するために、式(7)に降灰量の実測値を適用して風向の重み  $w_d$  を逆算し、各高度における風向頻度と比較したものが図-5 である。それによると、高度 1500 m の風向頻度が最も適合性がよいようである。また、火口より 10 km 以内のデータは 1000 m と 1500 m の風向頻度とよく一致しているが、距離が遠くなるにつれてバラツキが大きくなっている。これは、火口の近くでは降灰の頻度が高いために確率モデルの適合性がよいが、遠くなるにつれて確率的な取り扱いによる誤差が大きくなること、および遠くになると吉野高層観測所の風向とのずれが大きくなることなどによるものと考えられる。

謝辞：本研究をすすめられたにあたって、鹿児島県消防防災課より降灰観測資料を、鹿児島地方気象台高層課より高層風資料を提供いただいた。ここに、謝意を表する次第である。

参考文献：1)足田・平野・羽田野；桜島の降灰量の特性について、九大工学集報 54-6, PP669~673. (1981)

2)石原・江頭；火山灰の堆積状態に対する上層風の影響、第 16 回自然災害科学総合シンポジウム講演論文集、PP619~620. (1977)

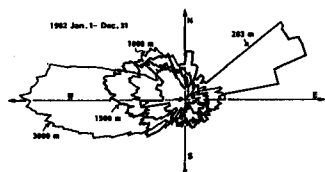


図-3 風高の頻度分布

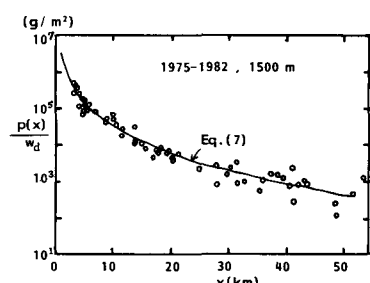


図-4 降灰量の距離方向の分布

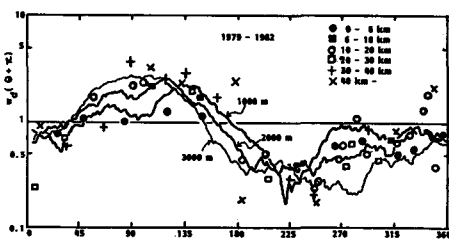


図-5 降灰量と風向の頻度分布